

吊橋の塔基部応力に関する一考察

本州四国連絡橋公団 正員 加島 智
正員・大橋治一

1. まえがき

最近の長大吊橋の主塔は、鋼製フレキシブルタワーとし、塔基部は極厚のベースプレートを介してアンカーボルトによりコンクリート基礎に定着する構造が多い。

一般に、塔柱断面は、塔自身の設計面から剛性および応力、コンクリートの支圧応力度製作実設性、美観等の総合的判断によって決定される。

一方、塔基部にはケーブル反力、補剛筋反力、塔自重、そして施工中と完成後の暴風時の浮上り防止用プレストレス力が作用し、これら全荷重をコンクリート基礎に直接伝達する塔壁直下では支圧応力度の局部集中が起こる。従って、塔基部は塔壁から成るセル内に支圧応力度の集中分散化のための補強リブが数mの高さまで設けられ、複雑な薄肉多室構造を形成している。

本報告は、塔基部コンクリートの支圧応力度の緩和に着目した塔基部断面形状および補強リブ構造の効果について考察したものである。

解析手法としては、(I)塔基部は面外格子とし格点はケーリン指針によるバネで独立支持する、(II)塔基部は面外格子とし格点はブーシネスクの理論解より逆算した連成バネで支持する⁽¹⁾、(III)塔基部、ベースプレート、コンクリート基礎をFEM解析する、等があるが、ここでは(I)、(II)を用いた。

2. セルの定性的特性とセル間の相乗効果

支圧応力度に及ぼす要因としては①セル割、②補強リブ構成、③セル構成がある。鉛直力のみ作用する場合の①②の影響を手法(I)で図-1に示すセル断面に対して分析すると次の様になる。(図2~図5)

①セル縦横比 α_b が大きい程(扁平)、支圧応力の分布は良く、Aが大きい程その効果が大きい。

②補強リブ厚 tr の効果は顕著でない。

③補強リブ間隔 dr の効果は1m以下で著しい(製作上から0.8m以上)。

④補強リブ高さの効果を短辺 b との比 h/b で評価すれば、図-5に

示すようにA、 α_b により特有の性状を示す。

⑤応力集中度 $\alpha = \sigma_{max}/\sigma_{mean}$ の最小値は表-1に示す値が限界である。

セル構成による相乗効果について、底面積、塔壁延長、補強リブ構成を同一とし、セルから成る長方形断面に対するセル区画を変化させ、手法(I)で鉛直力を作用させた場合の検討結果、次の事が言える。

① α_{max} はセル区画によってほとんど差がない。

②曲げモーメントが作用する場合は、小さなセルあるいは密な補強リブを断面の内側に

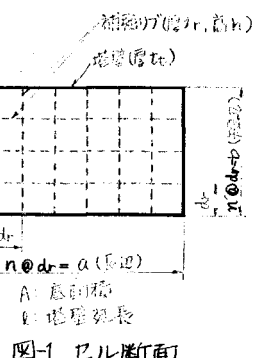


表-1 応力集中の最小限界値							
%	A	h/b	α	%	A	h/b	α
1	36	3	2.2	4	36	5	2.0
	16	3.5	1.9		16	6	1.7
	9	4	1.7				

$\alpha = \sigma_{max}/\sigma_{mean}$

配置させた方が傾向的に秀れていると思える。

②塔断面形状の特性

既往の主要長大吊橋の塔断面形状としては長方形、十字形、凸形、凹形あるいは、それらの変形であり、多く採用されているのが、十字形断面である。²⁾手法(II)に於りType1~Type5についての比較が表-2で、考察を以下に記す。

①支圧応力の分布の良さは多數の最小セルから成るType5が秀れており、Golden Gate Br.にその例を見る。

②鉛直力(N)のみ作用させた場合、Type2, Type4が σ_{max} を効率良く小さくすることが容易な形状である。

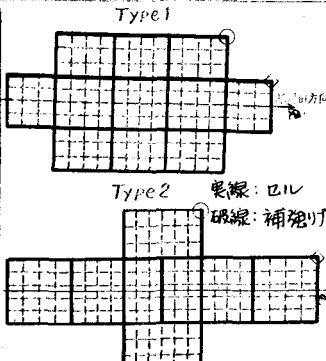
③橋脚軸方向曲げモーメント(ML)が卓越する場合、Type4は各コードでの応力に大きな差がない傾向的に秀れている(Ex. 常時塔頂移動量最大時)。

④橋脚軸直角方向曲げモーメント(Mr)が作用する場合、Type4が順位秀れている(Ex. 暴風時)。

注)表-2は各タイヤ共、全ての要因を同一レベルで比較ではないため、底面積、塔壁延長等のみで補正したものである。

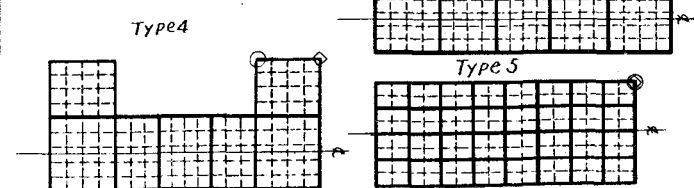
表-2 各タイヤの最大支圧応力度のType5に対する比較

補正 因 子	Type					
	1	2	3	4	5	
はし	1.14	1.13	1.25	1.2	1.0	
底面積	1.21	1.17	1.28	1.22	1.0	
塔壁延長	0.78	0.73	0.75	0.72	1.0	
リブ面積	1.28	1.26	1.33	1.24	1.0	
塔壁相当の 底面積	0.74	0.7	0.74	0.71	1.0	
ML	はし	1.36	1.21	1.22	0.98	1.0
Mr	はし	1.07	1.38	1.15	0.88	1.0



○ N作用時の σ_{max} 発生点 (Mrも同じ)

△ ML作用時の σ_{max} 発生点



<参考文献> (1) 梶波・添田:長大吊橋における塔基部の変形解析について、工学会第20回学術講演会講演概要集、550年

(2) 世界長大吊橋の設計指針元、神戸市、1966年1月

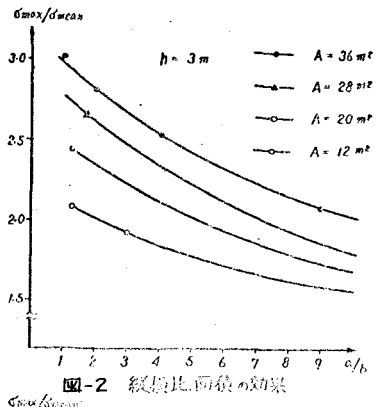


図-2 縦断比面積の効果

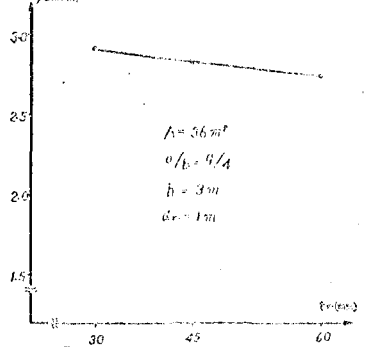


図-3 リブ幅の効果

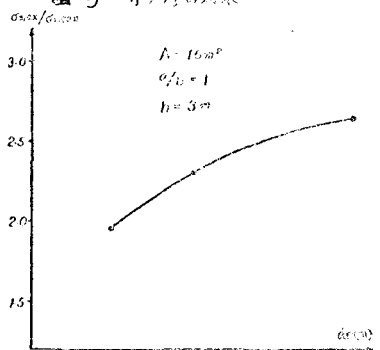


図-4 リブ高の効果

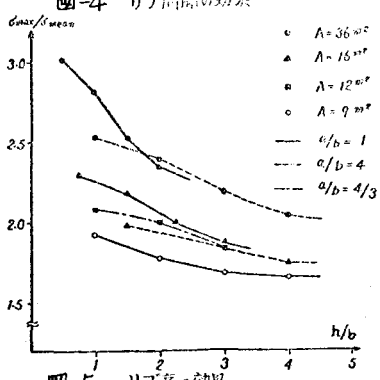


図-5 リブ高の効果